

M.K. Moayyedi*

Department of Mechanical
Engineering, University of
Qom

e-mail: moayyedi@qom.ac.ir

A. Bashardust

Graduated B.Sc. in Mechanical
Engineering, Department of
Mechanical Engineering,
University of Qom

e-mail: bashardoust69cr7@gmail.com

Numerical Simulation of Airflow and Particle Deposition from the Surface of Raw Materials Piles and Studying the Effects of Shape Variations and Free-Stream Velocity in Wind Erosion Reduction

Accumulation of consumable or produced materials in outdoor areas and exposed to the air flow is an important issue of environmental concern. Also, wind erosion of raw materials from the storage piles in some industries causes environmental problems and economic consequences. The materials are accumulated in various volumetric shapes in an outdoor environment, which is usually pyramidal and conical. The subject of this study is about the percentage of wind erosion from the surface of the pile and the intensity of the particles deposition due to the free-stream flow passing through the various points of the pile's surface. In this research, the wind erosion or in other words, the movement and deposition of particles from the surface of the pile have been discussed. So, a comparison between the piles with different shapes has been performed according to the reduction of wind erosion. So, a comparison between the piles with different shapes has been performed according to the reduction of wind erosion.

Keywords: Wind erosion rate, cone pile, pyramid pile, Eulerian-Lagrangian Approach, Environmental fluid dynamics.

* Corresponding author

Received 02 April 2019, Revised 30 July 2019, Accepted 18 August 2019.

DOI: 10.22091/cer.2019.4211.1143

شبیه‌سازی عددی جریان هوا و انتقال ذرات از سطح پشته‌های انباشت مواد اولیه و مقایسه اثرات تغییرشکل و سرعت بر میزان بادبردگی

* محمد کاظم مؤیدی

استادیار، آزمایشگاه پژوهشی
توربولنس دینامیک سیالات
محاسباتی و احتراق، بخش
مهندسی مکانیک، دانشگاه قم

پست الکترونیک:

moayyedi@qom.ac.ir

علی بشردوست

دانشآموخته کارشناسی
مهندسی مکانیک، گروه مهندسی
مکانیک، دانشگاه قم

پست الکترونیک:

bashardoust69cr7@gmail.com

ذخیره‌سازی مواد مصرفی یا تولیدی در فضای آزاد و در معرض جریان هوا موضوع مهم و قابل بررسی از نظر مسائل زیست‌محیطی است. همچنین بادبردگی مواد از پشته‌های ذخیره مواد اولیه در صنایع، سبب مشکلات زیست‌محیطی و تبعات اقتصادی می‌شود. مواد مورد نظر به شکل‌های حجمی مختلف که معمولاً هرمی و مخروطی می‌باشند، در محیط اتمسفر انباشته می‌شوند. موضوع مورد بررسی، میزان بادبردگی از سطح پشته و شدت بادبردگی ذرات موجود در سطح آن در اثر جریان هوا آزاد عبوری از روی پشته و نقاط مختلف سطح آن می‌باشد. در این پژوهش، موضوع بادبردگی یا به عبارت دیگر، جابه‌جایی و پخش ذرات موجود از سطح مواد انباشته شده و مقایسه اثرات تغییرشکل پشته در کاهش بادبردگی مورد بررسی قرار گرفته است. برای حل این مسئله از شبیه‌سازی عددی سه‌بعدی به کمک روش حجم محدود استفاده شده است. نتایج حاصل از این پژوهش، مقایسه میزان بادبردگی در قسمت‌های مختلف پشته را به تفکیک در هر حالت مشخص می‌کند. بر مبنای نتایج حاصل، نقاط بحرانی از نظر بادبردگی بروی پشته در حالت‌های مختلف شناسایی شده است.

وازگان کلیدی: نرخ بادبردگی، پشته مخروطی، پشته هرمی، الگوی اویلری- لاغرانژی، دینامیک سیالات محیط‌زیستی.

۱- مقدمه

پشته‌های^۱ ذخیره مواد اولیه که به عنوان مواد خام فرآیندهای پایین‌دستی تلقی می‌شوند، اشاره کرد. اهم مطالعات انجام گرفته در زمینه انتقال مواد سطحی از سطوح شیبدار، عمدتاً مربوط به تپه‌های شن و ماسه^۲ می‌باشد. انتقال ذرات شامل سه مکانیزم متداول می‌باشد: برخاستن^۳ از سطح زمین، پراکندگی اتمسفری^۴ و رسوب مجدد بر روی سطح^۵. علت اصلی نگرانی، اثرات زیست‌محیطی انتشار گردوغبار که شامل هدررفتن مواد اولیه و انرژی، تنزل کیفیت هوا و آسیب به سلامتی انسان

منابع آلاینده در صنعت را می‌توان در قالب دو گروه کانونی و غیرکانونی طبقه‌بندی نمود. منابع کانونی به صورت نقطه‌ای (دودکش) یا خطی (بزرگراه) می‌باشند و منابع غیرکانونی به صورت سطحی بررسی شده و به همین دلیل روش‌های برآورده، مدل انتشار، و کنترل آلودگی آنها پیچیده‌تر می‌باشد. از جمله منابع غیرکانونی می‌توان به

¹- Piles

²- Sand dunes

³- Uplift

⁴- Atmospheric dispersion

⁵- Deposition

* نویسنده مسئول

تاریخ: دریافت ۱۳۹۸/۰۱/۱۳، بازنگری ۱۳۹۸/۰۵/۰۸، پذیرش ۱۳۹۸/۰۵/۲۷

(DOI): 10.22091/cer.2019.4211.1143

جهت وزش باد روی آنها پرداخته و در نهایت نتایج به دست آمده از نرم‌افزار انسیس CFX را با نتایج آزمون حفاظت محیط‌زیست آمریکا (EPA^۹) مقایسه کردند. نتایج آنها نشان داد که بسته به جهت وزش باد، مقادیر بالاتر اصطکاک در هر واحد سطح، یافت شده اما با توجه به حجم بالای ذخیره‌سازی در هر مترمربع، تعادل مثبت به پشتۀ نیمه چرخشی است [۶].

از آنجایی که انتشار گازهای گلخانه‌ای از محوطه‌های ذخیره‌سازی، یک مشکل چند متغیره است که باید حل شود؛ در سال ۲۰۰۹، دیئگو^{۱۰} و همکاران با استفاده از نرم‌افزار انسیس CFX10 به بررسی همزمان دینامیک سیالات محاسباتی جریان باد و انتشار گردوغبار در پشتۀ‌های ذخیره‌سازی روباز پرداختند. آنها شکل پشتۀ را نیمه چرخشی در نظر گرفته و سرعت باد در ارتفاع‌های مختلف برای پشتۀ ذخیره شده روباز ذغال سنگ را مورد مطالعه قرار دادند. در نهایت، رفتار میدان واقعی بررسی شد. نتایج نشان داد ترتیب دو پشتۀ موازی ثابت می‌کند که چگونه هر پشتۀ می‌تواند تأخیر ایجاد کند. بنابراین اگر پشتۀ‌ها عمود بر جهت باد قرار گیرند، انتشار کل کمتر خواهد بود [۱۰]. حصارهای متخلخل می‌توانند باعث کاهش میزان گردوغبار از پشتۀ‌های ذخیره‌سازی در محوطه‌های روباز شود، اما تأثیر حفاظت آنها بستگی به ساختار جریان هوا در اطراف پشتۀ و توزیع تنش برشی در هر سطح دارد. در سال ۲۰۱۴، سونگ^{۱۱} و همکاران، به شبیه‌سازی عددی ساختار جریان هوا و انتشار ذرات آلاینده در پشت توری (حصار) متخلخل مورد استفاده برای پناهگاه پشتۀ‌های ذخیره‌سازی روباز پرداختند. آنها شکل پشتۀ را مخروط با سطح صاف در نظر گرفتند. در این مطالعه، میدان جریان با استفاده از مدل آشفتگی k-ε شبیه‌سازی شد. نتایج آنها نشان داد که در تخلخل‌های پایین، جریان تجدیدپذیر بوده که در ناحیه بین حصار و

می‌باشد. عوامل متعددی بر فرآیند بادبردگی از پشتۀ نظیر چگالی توده مواد ذخیره شده، مساحت در معرض باد، محتوای رطوبت، توزیع اندازه ذرات، شکل پشتۀ و سایر موارد تأثیرگذار است؛ اما مهمترین عوامل انرژی باد و ذرات قابل سایش می‌باشند. اولین مطالعات در مورد بادبردگی در سال ۱۹۴۱، درباره حرکت ذرات ماسه توسط باد انجام شد. این کار یک مطالعه فیزیکی درباره حرکت تکدانه‌ای ذرات ماسه توسط باد بود [۱]. مطالعات دیگری در زمینه اثرات جریان باد محیطی روی انتقال ذراتی همچون ریگهای روان توسط لانکاستر^۶، نیومن^۷ و همکاران و پارسن^۸ و همکاران انجام شده است. این تحقیقات، به خوبی رابطه بین شکل ذرات و برهم‌کنش‌های جریان را مشخص کرده و نشان می‌دهند که پدیده انتقال بهشت بساختار ذره و جریان برگشتی بستگی دارد [۲، ۳ و ۴]. مطالعات دیگری در سال‌های ۲۰۰۵ تا ۲۰۰۷ در خصوص تأثیر شکل پشتۀ‌ها در میزان بادبردگی از آنها انجام شده است [۵]. حسنوند و همکارانش در پژوهشی در سال ۲۰۰۲، به بررسی اثر مواد افزودنی بر کاهش بادبردگی از پشتۀ‌های سنگ آهن با استفاده از توبل باد پرداختند [۶]. در سال ۲۰۱۵ مؤبدی و بشردوست، با استفاده از ترکیب مدل جریان سیال (هوا) و مدل فاز گسسته به شبیه‌سازی عددی میدان جریان و انتقال ذرات آلاینده حول پشتۀ‌های انباشت مواد اولیه پرداختند [۷]. اشرفی و همکارانش، به برآورد میزان بادبردگی از پشتۀ‌های سنگ آهن با دو روش دینامیک سیالات محاسباتی و ون کارمن پرداختند [۸]. در سال ۲۰۰۷، پژوهشی در خصوص اثر شکل پشتۀ بر روی فرسایش باد با استفاده از الگوی دینامیک سیالات محاسباتی به شبیه‌سازی ذرات آلاینده و انتشار آنها انجام شد. همچنین محققان، به مقایسه پشتۀ مخروطی و مخروط مسطح (ناقص) و پشتۀ نیمه چرخشی و اثرات

^۹- Environmental Protection Agency

^{۱۰}- Diego

^{۱۱}- Song

^۶- Lancaster

^۷- Neuman

^۸- Parson

پشته را به صورت مخروطی در نظر گرفته و به دلیل آنکه ضربه‌های باد، موجب تخریب سطح پشته، پخش ذرات و آلدگی آب دریا می‌شد، در جلوی پشته، یک حصار (توری) قرار دادند. در این پژوهش، تأثیر انواع مختلف حصارها، مانند صاف، منحنی و با شکاف پایین، برای انتشار ذرات به محیط، مورد تجزیه و تحلیل قرار گرفت. پژوهش آنها نشان داد که بهترین نتایج مربوط به حصار صاف با شکاف پایین بوده و می‌توان با استفاده از این حصار انتشار گردودغبار را به میزان ۶۰ درصد کاهش داد [۱۳]. در یکی از جدیدترین پژوهش‌های انجام شده درباره انتشار ذرات آلاینده روی پشته‌ها، ناگل^{۱۳} و همکاران در سال ۲۰۱۶، به شبیه‌سازی جریان دوفازی اطراف یک پشته استوانه‌ای پرداختند. آنها پشته را به صورت استوانه‌ای در داخل یک حجم کنترل در نظر گرفته و نتایج دو مدل Open Foam و ROULUND را با استفاده از مدل‌های آشفتگی k-ε و k-ω-SST با یکدیگر مقایسه کردند [۱۴]. در پژوهشی در سال ۲۰۱۵، مدل سازی عددی فرآیند برخاستن ذرات گردودغبار از یک پشته صنعتی با هندسه پیچیده انجام شد. در این مقاله، پدیده انتشار ذرات گردودغبار در معادن ذغال سنگ و سنگ‌آهن در بندر کوپر کشور اسلوونی مورد بررسی قرار گرفت. برای انجام این پژوهش، به کمک شبیه‌سازی عددی از روش RANS^{۱۴} و مدل آشفتگی k-ε استفاده شد. USEPA نتایج به دست آمده از مدل سازی عددی در مدل USEPA برای تعیین عوامل انتشار گردودغبار استفاده گردید. همچنین نتایج نشان داد که قرار دادن موانع متخلخل (حصار) در بین پشته‌ها، در کاهش اثرات باد و انتشار گردودغبار موثر است [۱۵].

در این پژوهش، با استفاده از شبیه‌سازی عددی به بررسی ساختار جریان هوا در اطراف پشته‌های انباشت مواد اولیه با دو شکل هرمی و مخروطی به همراه

پشته ظاهر شد. همچنین تنش برشی در سمت رو به باد سطح تخت ابتدا کاهش یافته و سپس با افزایش تخلخل افزایش می‌یابد. پیش‌بینی‌های عددی آنها نشان داد که حصار با تخلخل بین ۰/۲ و ۰/۳ مطلوب است. آنها از الگوی دینامیک سیالات محاسباتی برای بدست آوردن میدان سرعت بهره برده و مقادیر بهینه برای کاهش انتشار گردودغبار، ۰/۲ و ۰/۳ بود [۱۱].

از آنجاکه کارخانه‌های فولادی یکپارچه یکی از مهمترین اهداف اروپا برای انتشار گردودغبار است، در طول سال‌ها، بسیاری از سرمایه‌گذاری‌ها و تحقیقات بر روی کاهش انتشار گازهای گلخانه‌ای متمرکز شده است. در پژوهشی از میزان انتشار گردودغبار پشته ایزوله شده در برابر دو پشته نزدیک به هم پرداختند. آنها شکل پشته را به صورت هرم با مقطع مثلثی با دو نیم‌مخروط در دو طرف آن در داخل یک حجم کنترل در نظر گرفتند. پژوهشگران برای انتشار گردودغبار از مدل USEPA استفاده کردند. سپس الگوریتم حل آن را برنامه‌نویسی و داده‌های جریان را توسط این مدل، پیش‌بینی نمودند. همچنین آنها دو پشته را به صورت موازی و با زاویه ۶۰ درجه نسبت به هم قرار داده و با دو فاصله مختلف از یکدیگر، اثر وزش باد را روی پشته‌ها بررسی کردند. نتایج نشان داد زمانی که پشته‌ها از هم دورتر هستند، انتشار گردودغبار از ذخایر بالادست کمی افزایش می‌یابد. بر عکس، تحلیل پایین دست ذخایر نشان داد که با افزایش فاصله، انتشار گردودغبار کاهش می‌یابد [۱۲]. به دلیل اهمیت بالای مطالعات انتشار گردودغبار روی پشته‌های ذخیره معدنی روباز، تورنو^{۱۲} و همکاران در پژوهشی در سال ۲۰۱۰، به کمک الگوی دینامیک سیالات محاسباتی به بررسی کاهش انتشار ذرات برای ذخیره‌سازی روباز پشته‌های معدنی توسط حصارها (توری‌ها) پرداختند. آنها شکل

¹³- Nagel

¹⁴- Reynolds Average Navier-Stokes

¹²- Torno

داشته ولی مشکلات این روش را به خواص آشفتگی جریان آزاد ورودی ندارد. این مدل رفتار بسیار مناسبی در جدایش جریان و گرادیان فشار معکوس از خود بروز می‌دهد. معادلات مدل k- ω -SST در حالت دوبعدی تراکمن‌پذیر به صورت زیر می‌باشد [۱۶]:

$$\begin{aligned} \frac{\partial k}{\partial t} + (\mathbf{u} \cdot \nabla)k &= P - \beta^* \omega k + \\ \frac{\partial}{\partial x_j} \left((\mu + \sigma_k \mu_t) \frac{\partial k}{\partial x_j} \right) & \\ \frac{\partial \omega}{\partial t} + (\mathbf{u} \cdot \nabla)\omega &= \frac{\gamma}{\nu_T} P - \beta \omega^2 + \\ \frac{\partial}{\partial x_j} \left((\mu + \sigma_\omega \mu_t) \frac{\partial \omega}{\partial x_j} \right) &+ \\ 2(1 - F_1) \frac{\sigma_\omega}{\omega} \frac{\partial k}{\partial x_j} \frac{\partial \omega}{\partial x_j} & \\ \mu_t &= \frac{a_1 k}{\max(a_1 \omega, \Omega F_2)} \end{aligned} \quad (۲)$$

معادله‌های بالا در مقایسه با مدل k- ω تفاوتی با اهمیت را نشان می‌دهند. در این مدل برای محاسبه ϵ تغییر متغیری به صورت زیر استفاده می‌شود:

$$\epsilon = C_\mu k \omega = \beta^* \omega k \quad (۳)$$

۳- مدل انتشار آلاینده‌ها

همانطور که روشن است مسئله مورد بحث در این پژوهش شامل اثرات جریان سیال بر حرکت و در نتیجه غلظت ذرات آلاینده، که به صورت ذرات معلق تحت تأثیر تغییرات سرعت و فشار سیال حرکت می‌کنند، می‌باشد. الگوی مورد نظر مبتنی بر یک رویکرد اویلری- لاغرانژی می‌باشد. لازم به ذکر است فاز گستته (ذرات معلق) در دستگاه مختصات لاغرانژی و در بستری از فاز پیوسته (با دستگاه مختصات اویلری) مدل می‌شود. حرکت ذرات به کمک حل معادله تعادل نیروها بر روی یک ذره تخمین زده می‌شود. در واقع این تعادل نیرویی، میان اینرسی ذره، نیروی پسا و بیانسی وارد بر آن و هر نیروی اضافی دیگر می‌تواند به صورت رابطه (۴) نوشته شود [۱۷]:

$$\frac{d\mathbf{u}_p}{dt} = \mathbf{F}_D + \frac{g_x(\rho_p - \rho)}{\rho_p} + \mathbf{a} \quad (۴)$$

مدل سازی انتشار ذرات آلاینده (گردوغبار) با بهره‌گیری از الگوی دینامیک سیالات محاسباتی پرداخته شده است. همچنین به دلیل عدم تقارن هندسی شکل هرمی، میزان اثرگذاری بخش‌های مختلف سطح پشتی بر میزان انتشار ذرات آلاینده و پدیده بادبردگی از سطح آن نیز مورد بررسی قرار گرفته است. از طرفی، به بررسی جریان و انتشار ذرات جامد ریز مقیاس حاصل از پشتی‌های انباشت سنگ آهن پرداخته شده است. بدین منظور، از روش شبیه‌سازی عددی مبتنی بر ترکیب الگوی اویلری- لاغرانژی برای مطالعه رفتار جریان هوا و انتشار ذرات آلاینده بهره برده شده است. برای مطالعه میدان جریان از دو شکل هندسی متداول برای انباشت سنگ آهن استفاده شده و پیرامون اثرات تغییرات سرعت جریان هوا بر ساختار جریان اطراف پشتی‌ها و انتشار ذرات آلاینده در اطراف و پایین پشتی بحث شده است.

۲- معادلات حاکم بر جریان سیال

معادلات حاکم بر جریان تراکمن‌پذیر شامل معادلات پیوستگی و اندازه حرکت خطی بوده که در فرم بی‌بعد به صورت زیر می‌باشد:

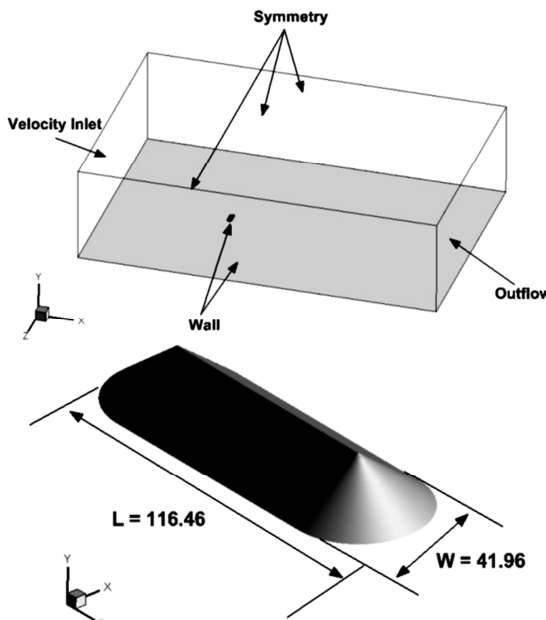
$$\begin{aligned} \nabla \cdot \mathbf{u} &= 0, \\ \frac{D\mathbf{u}}{Dt} &= -\nabla p + \frac{1}{Re} \nabla^2 \mathbf{u} \end{aligned} \quad (۱)$$

که در آن \mathbf{u} بردار سرعت، p فشار و Re عدد رینولدز می‌باشد.

۱-۲- مدل سازی آشفتگی

مدل آشفتگی k- ω -SST یک مدل دو معادله‌ای لزجت گردابه‌ای بوده که بسیار متداول است. ویژگی‌های مدل k- ω در بخش درونی لایه مرزی باعث می‌شود که این مدل در تمام ناحیه زیر لایه لزج نزدیک دیواره عملکرد بسیار مناسبی داشته باشد. همچنین مدل k- ω -SST می‌تواند به عنوان یک مدل آشفتگی رینولدز پایین بدون هیچگونه تابع میرایی اضافی مورد استفاده قرار گیرد. این مدل در جریان آزاد، رفتاری شبیه به مدل E-

مرزی منظیق بر فیزیک مسئله و تا حدامکان دقیق خواهد بود. بدین منظور، می‌بایست شرایط مرزی مناسبی برای هندسه در فواصل مناسب علاوه بر خود پشته انتخاب شود. برای حجم کنترل مورد استفاده بهمنظور شبیه‌سازی عدی جریان اطراف پشته، از چهار نوع شرط مرزی شامل سرعت ورودی، جریان خروجی، شرط مرزی تقارن و دیواره لرج، بهصورت مشخص شده در شکل ۱، استفاده شده است. برای ورودی (مرز سمت چپ) با در نظر گرفتن فاصله مناسب از جسم از شرط مرزی سرعت ورودی استفاده شده و برای خروجی (مرز سمت راست) شرط جریان خروجی در نظر گرفته شده است. برای پشته و صفحه‌ای که روی آن قرار گرفته از شرط مرزی عدم لغزش با در نظر گرفتن اثرات زیری مناسب با شرایط واقعی استفاده شده است. برای مرزهای اطراف نیز از شرط مرزی تقارن بهره گرفته شده است.



شکل ۱- شرایط مرزی برای جریان اطراف پشته هرمی و مخروطی و مشخصات هندسی پشته هرمی

۵- نتایج

در این بخش، نتایج حاصل از این پژوهش ارائه شده است. بدین منظور از شبیه‌سازی عددی جهت بررسی ویژگی‌های میدان جریان و انتقال ذرات آلاینده استفاده

a، شتاب ناشی از هر نیروی اضافی بوده و F_D نیروی پسا بر واحد جرم ذره است که در آن:

$$F_D = \frac{18\mu}{\rho_p d_p^2} \frac{C_D \text{Re}}{24} \quad (5)$$

عدد رینولدز رابطه (۵) بهصورت زیر تعریف می‌شود:

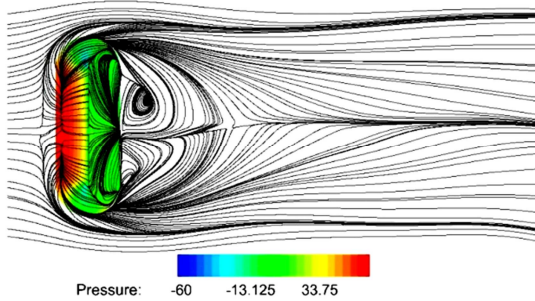
$$\text{Re} = \frac{\rho d_p |\mathbf{u}_p - \mathbf{u}|}{\mu} \quad (6)$$

نیروهای اضافی شامل نیروهایی مانند نیروی ناشی از جرم مجازی ذره، نیروی ناشی از حرکت در دستگاه دوران، نیروهای حرارتی، نیروی ناشی از گرادیان فشار، نیروی برونین و نیروی سافمن می‌باشد که هریک تحت شرایط خاصی اهمیت پیدا می‌کنند. در این پژوهش، صرفاً نیروهای ناشی از گرادیان فشار و متأثر از ادیهای آشفتگی درنظر گرفته شده است [۱۸].

۴- روش حل عددی و شرایط مرزی

برای شبیه‌سازی عددی جریان اطراف پشته از روش حجم محدود با تکیه بر حل معادلات ناویراستوکس متوسطگیری شده رینولدز استفاده شده است. با توجه به اینکه ماهیت مسئله انتقال ذرات و آلاینده‌ها رفتاری وابسته به زمان دارد، بنابراین مدل شبیه‌سازی در حالت ناپایا و برای جریان تراکم‌ناپذیر توسعه یافته است. همانطورکه اشاره شده بود بهمنظور مدل‌سازی اثرات آشفتگی میدان جریان از مدل k-ω-SST استفاده شده است. معادلات میدان جریان، انرژی جنبشی آشفتگی و نرخ اضمحلال آشفتگی با روش حجم محدود مرتبه دوم بالادست جداسازی شده‌اند. برای شبیه‌سازی حرکت ذرات آلاینده از روش فاز گسسته با در نظر گرفتن حرکت ذرات جامد متأثر از تغییرات میدان سرعت و با لحاظ کردن اثر نیروی برآ ناشی از تغییر فشار اطراف ذره و اثرات نیروهای مربوط به تغییرات دما استفاده شده است. روشن است بهمنظور شبیه‌سازی عددی میدان جریان و حرکت ذرات آلاینده، نیاز به حل معادلات حاکم بر دینامیک میدان بوده و حل این معادلات مستلزم بهره‌گیری از شرایط

در پایین دست پشته مشخص بوده که همراه با کاهش فشار می‌باشد. برگشت جریان باد از کناره‌های پشته به سمت وسط در پشت، نشان‌دهنده جریان‌های ثانویه‌ای است که با توجه به شکل هندسی و آشفتگی جریان هوا در این قسمت به وجود می‌آید. این جریان‌های ثانویه با توجه به بعد پشته ممکن است بیش از یکبار رخ دهد.



شکل ۲- خطوط جریان همراه با توزیع فشار نسبی روی سطح پشتۀ هرمی

شکل ۳ (الف)، تغییرات زمانی انتگرال سطحی غلظت ذرات آلاینده برحسب زمان را در بازه ۳۵ تا ۵۰ ثانیه روی صفحه‌ای در پایین دست پشته و در فاصله ۱۰ متری از پشته نمایش می‌دهد. چون قطر ذرات ۱۰ میکرون بوده و این ذرات سبک هستند، در ابتدا حجم زیادی از آنها با وزش باد از روی پشته بلند شده و غلظت آنها افزایش می‌یابد. ولی همانطور که انتظار می‌رود با گذر زمان، نرخ غلظت کاهش یافته ولی مجدداً کمی افزایش می‌یابد. این افزایش ناشی از عبور ذراتی است که از سرعت کمتری برخوردار بوده و در نتیجه دارای زمان ماند بیشتری می‌باشند. در شکل ۳ (ب)، تغییرات غلظت ذرات آلاینده برحسب زمان روی سطح زمین و در ناحیه اطراف و پایین دست پشته آورده شده است. در این نمودار نیز با گذر زمان، نرخ غلظت کاهش یافته تا به یک مقدار ثابت همگرا می‌شود. مقدار غلظت ثابت شده، نشان‌دهنده میزان ذراتی است که روی سطح زمین انباسته و دچار حالت ایستایی شده‌اند. این مقدار جهت مطالعه پیرامون اثرات زیست‌محیطی ناشی از بادبردگی بسیار حائز اهمیت می‌باشد.

می‌شود. نتایج برای دو الگوی متفاوت و متداول انباشت مواد اولیه ارائه می‌شوند. در مسئله اول، پشته به صورت هرمی فرض شده و مدل دیگر، پشته‌ای به شکل مخروط با قاعده دایروی می‌باشد. نتایج حاصل از دو مدل بهمنظور ارزیابی ویژگی‌های هرکدام با هم مقایسه شده‌اند.

۱-۵- شبیه‌سازی عددی جریان هوا روی پشتۀ هرمی در سرعت ۱۰ متر بر ثانیه

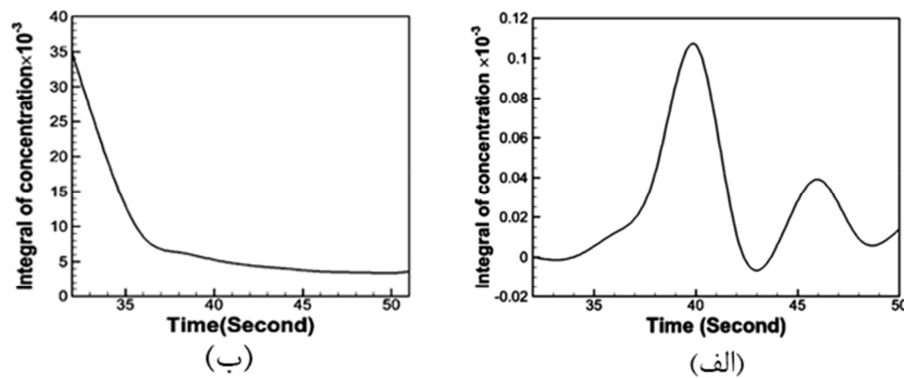
در این بخش به تحلیل جریان اطراف پشتۀ هرمی و انتقال ذرات آلاینده از روی سطح آن پرداخته شده است. در مسائل شبیه‌سازی فاز گسسته، انتخاب شرایط اولیه سه‌هم بسزایی در مسیر حرکت ذرات دارد. با محاسبه دقیق دامنه تغییرات سرعت در نقاط مختلف میدان می‌توان براساس نتایج به دست آمده، مسیر موقعیت ذرات و غلظت آلاینده‌ها را در بخش‌های مختلف ناحیه مورد بررسی به دست آورد. به منظور مدل‌سازی میدان جریان سیال از یک الگوی پایا جهت محاسبه تغییرات سرعت، فشار و غیره در حجم کنترل موردنظر استفاده شده است. پس از همگرایی حل، داده‌های محاسبه شده به عنوان مقادیر اولیه جهت شبیه‌سازی مسیر حرکت ذرات و غلظت آلاینده‌ها به کار می‌رود. مسئله مورد بحث در این بخش، جریان اطراف یک پشتۀ هرمی شکل می‌باشد.

یکی از شکل‌های متداول در انباشت مواد اولیه در صنایعی چون فولادسازی و سیمان، هندسه هرمی می‌باشد. در شکل ۱، مشخصات هندسی پشتۀ هرمی نشان داده شده است. پشتۀ موردنظر شامل ذرات سنگ آهن بوده که مشخصات فیزیکی آن در جدول ۱ آورده شده‌است.

جدول ۱- مشخصات ذرات جامد

جنس ذرات	چگالی (kg/m^3)	قطر (بر حسب میکرون)
سنگ آهن	۸۰۰۰	۱۰

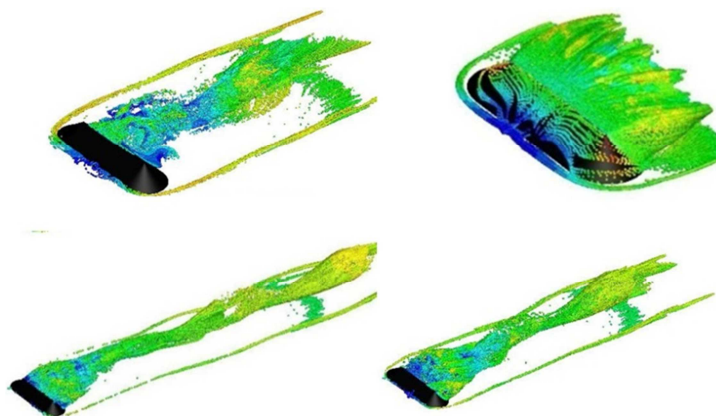
شکل ۲، خطوط همتراز فشار نسبی روی سطح پشتۀ همراه با خطوط جریان در اطراف پشتۀ را نشان می‌دهد. ناحیه جریان برگشتی در این شکل نیز بهوضوح



شکل ۳- تغییرات انگرال سطحی غلظت ذرات آلاینده عبوری (الف) از صفحه $z=0$ m، (ب) روی سطح زمین بر حسب زمان (ثانیه) در ناحیه پایین دست پشتۀ هرمی

میدان جریان در پایین دست پشتۀ منتشر می‌شود. دلیل انتخاب این بازه زمانی برای انتشار منبع ذرات آلاینده می‌تواند به حالتی شبیه شود که وزش باد در مدت زمان محدود و سپس جایه‌جایی ذرات ناشی از آن صورت می‌گیرد. در ادامه، تنها حرکت ذرات جدا شده از سطح پشتۀ حائز اهمیت بوده و مدت زمانی باقیمانده صرفاً برای دنبال کردن ذرات آلاینده از سطح پشتۀ می‌باشد.

در شکل ۴، مسیر انتقال ذرات آلاینده در گام‌های زمانی مختلف نمایش داده شده است. به‌منظور مدل‌سازی انتقال آلاینده‌ها، منبع انتشار گردوغبار روی سطح پشتۀ برای یک بازه زمانی ۳ ثانیه‌ای در نظر گرفته شده و سپس به مدت ۴۷ ثانیه حرکت ذرات دنبال و شبیه‌سازی شده‌اند. همانطور که روشن است با گذر زمان، ذرات بیشتری از سطح پشتۀ جدا شده و با توجه به ساختار

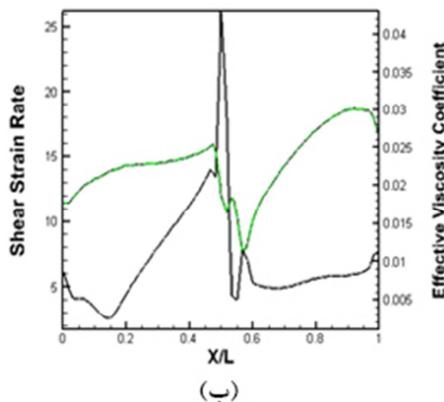


شکل ۴- مسیر انتقال ذرات گردوغبار از روی پشتۀ هرمی در گام‌های زمانی مختلف، (رنگی‌شده بر حسب مقدار سرعت)

افزایش می‌یابد. در ناحیه پایین دست پشتۀ به‌دلیل افزایش سرعت، در اثر جدایش ایجاد شده روی سطح پشتۀ، مقدار ضریب اصطکاک سطحی به واسطه کاهش تنش برشی کاسته می‌شود. در بخش انتهایی سطح پشتۀ در ناحیه پشت به باد، ضریب اصطکاک دوباره افزوده شده که ناشی از افزایش ضریب لزجت مؤثر متأثر از اثرات آشفتگی جریان می‌باشد. در این موقعیت، با توجه به نمودار توزیع نرخ کرنش برشی، شکل ۵ (ب)، مقدار آن تقریباً ثابت

در شکل ۵ (الف)، تغییرات ضریب اصطکاک سطحی بر حسب مکان در صفحه $z=0$ روی پشتۀ هرمی نشان داده شده است. در سطح جلویی پشتۀ به‌دلیل وجود ناحیه پرفشار ناشی از برخورد جریان هوا بر سطح آن، سرعت در طول پشتۀ به‌سمت قله آن از یک مقدار کم شروع شده و به یک مقدار افزوده شده خواهد رسید. واضح است که در اثر کاهش سرعت، اثرات ناشی از نیروهای لزج افزوده شده در نتیجه مقدار ضریب اصطکاک سطحی روی سطح پشتۀ

ضریب لزجت موثر جریان می‌باشد.

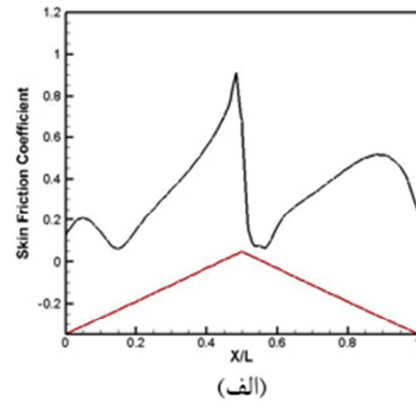


شکل ۵- تغییرات ضریب اصطکاک سطحی برحسب مکان (الف) مقایسه نرخ کرنش برشی و ضریب لزجت مؤثر جریان (ب) در صفحه روی پشتۀ هرمی $z=0$

همان‌طور که در این نمودار مشخص است، مجموع غلظت ذرات آلاینده روی این صفحه از دو گوشۀ راست و چپ پشتۀ در مقایسه با سطوح پشتی و جلویی پشتۀ، مقدار خیلی بیشتری دارد. همچنین از مقایسه این نمودارها با یکدیگر نتیجه می‌شود که میزان بادبردگی، ایجاد نواحی گردبهای و ناحیه و یک بهترتیب از دو گوشۀ راست و چپ پشتۀ و بعد سطح جلویی و در نهایت سطح پشتی پشتۀ، شکل می‌گیرد. نکته قابل ذکر این است که محور عمودی سمت راست مربوط به تغییرات مقدار غلظت حاصل از دو گوشۀ سمت راست و چپ پشتۀ می‌باشد. همچنین از مقایسه این نمودارها با یکدیگر دریافت می‌شود که میزان بادبردگی بیشتر، شروع آشفتگی‌ها و تشکیل جریان‌های برگشتی بهترتیب از دو گوشۀ راست و چپ پشتۀ و سپس سطح جلویی و در نهایت سطح پشتی پشتۀ، شکل می‌گیرد.

همچنین با دقت در این شکل نتیجه می‌شود که در ابتدای گام زمانی و تا ۱۲ ثانیه پس از آن، مجموع غلظت ذرات آلاینده ثابت و برابر صفر بوده ولی با گذشت زمان تا ۲۰ ثانیه، با افزایش سرعت، افزایش انرژی جنبشی آشفتگی و نیز افزایش بادبردگی در ناحیه پایین دست جریان، مقدار انتگرال سطحی و مجموع غلظت ذرات آلاینده روند افزایشی دارد.

بوده و در نتیجه تنش برشی بیشتر متأثر از تغییرات

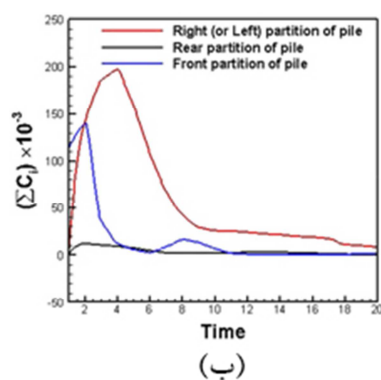


شکل ۵- شبیه‌سازی عددی جریان هوا روی پشتۀ هرمی در سرعت ۷ متر بر ثانیه (الف)

در این بخش، نتایج حاصل از شبیه‌سازی جریان هوا اطراف پشتۀ هرمی در سرعت ۷ متر بر ثانیه و انتقال ذرات آلاینده از روی سطح آن ارائه خواهد شد. یکی از اهداف مهم این پژوهش، بررسی چگونگی تأثیر مشخصات هندسی پشتۀ در بخش‌های مختلف آن بر میزان انتشار ذرات آلاینده و اصطلاحاً پدیده بادبردگی می‌باشد. بنابراین، در این بخش یک مدل محاسباتی شامل چهار بخش گوشۀ‌های سمت راست و چپ پشتۀ هرمی و دو سطح جلویی و پشتی، به عنوان منابع مجازی انتشار ذرات آلاینده در نظر گرفته شده است. به دلیل ساختار هندسی نامتقارن یک‌پشتۀ هرمی، بررسی اثر تغییرات شکل هندسی هر بخش از آن بر میزان انتشار ذرات آلاینده قابل تأمل می‌باشد. نکته‌ای که در خصوص پشتۀ مخروطی و به واسطه شکل متقارن هندسی آن، چندان اهمیتی ندارد. این موضوع به ویژه اگر جریان هوا با زاویه به سطح پشتۀ برخورد کند، برای شکل هرمی بسیار مهم‌تر و دارای تأثیر بیشتری بر پدیده بادبردگی خواهد بود.

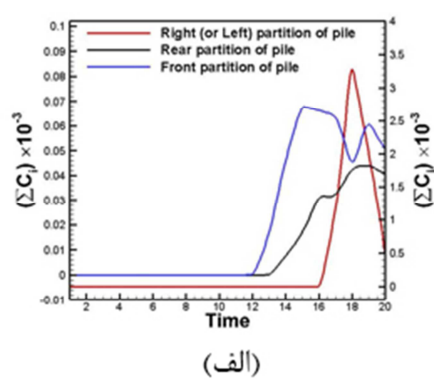
در شکل ۶ (الف)، مقایسه مجموع غلظت ذرات آلاینده روی صفحه $x=150\text{ m}$ در سطح جلویی، پشتی و دو گوشۀ راست و چپ پشتۀ نشان داده شده است.

با وزش باد به صورت عمود بر سطح جلویی پشت، حجم زیادی از آنها از روی سطح پشتی برخاسته و مجموع غلظت ذرات آلاینده روی سطح زمین، افزایش می‌یابد. لیکن با گذشت زمان، همانطورکه انتظار می‌رود این مقادیر کاهش یافته تا به یک مقدار ثابت همگرا شده یا به عبارت دیگر این ذرات آلاینده دچار حالت ایستایی شده‌اند. این مقادیر ثابت شده برای مطالعه حول مسائل زیست محیطی و اقتصادی بسیار حائز اهمیت است.



(ب)

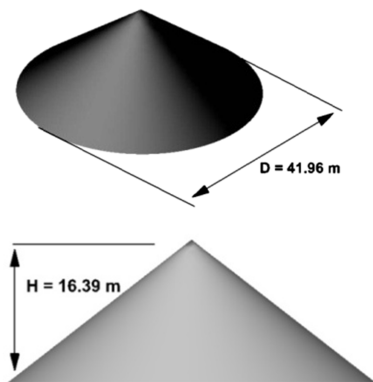
در شکل ۶ (ب)، مقایسه مجموع غلظت ذرات آلاینده روی سطح زمین در سطح جلویی، پشتی و دو گوشه راست و چپ پشتی نشان داده شده است. همان‌طورکه در این نمودارها مشخص است، مقدار غلظت ذرات آلاینده روی سطح زمین از دو گوشه راست و چپ پشتی در مقایسه با سطوح پشتی و جلویی پشتی، مقدار خیلی بیشتری دارد. همچنین می‌توان گفت که در گام‌های زمانی ابتدایی، به دلیل سبک بودن ذرات آلاینده،



(الف)

شکل ۶- مقایسه مجموع غلظت ذرات آلاینده روی صفحه $x=150$ (الف) و مجموع غلظت ذرات آلاینده روی سطح زمین (ب) بر حسب زمان در سطح جلویی، پشتی و دو گوشه راست و چپ پشتی

در ناحیه پایین‌دست پشتی (پایین‌دست جریان)، فشار کاهش یافته و طبق رابطه برنولی، سرعت افزایش یافته و نواحی گردابهای و جریان برگشتی تشکیل شده است.



شکل ۷- مشخصات هندسی پشتۀ مخروطی

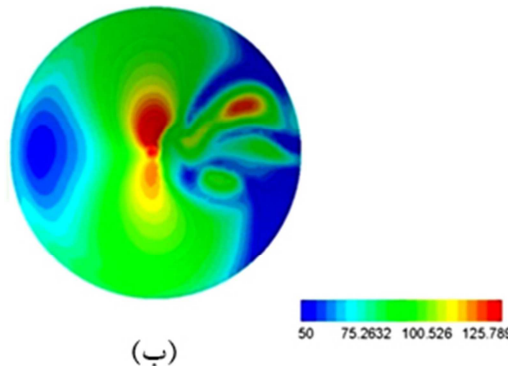
از آنجایی که انرژی جنبشی آشفتگی در پشت پشت افزایش یافته و با نرخ اضمحلال آشفتگی نسبت عکس دارد، بنابراین نرخ اضمحلال آشفتگی در پایین‌دست پشتی، کاهش می‌یابد. در شکل ۸ و ۹ توزیع شدت

۳-۵- شبیه‌سازی عددی جریان روی پشتۀ مخروطی در سرعت‌های ۷ و ۱۰ متر بر ثانیه

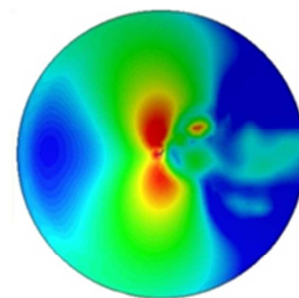
قلمرو محاسباتی موردنظر، یک توده انباشته از سنگ آهن به شکل مخروط بوده که در محیط جابه‌جایی با سرعت متوسط جریان هوا به اندازه ۷ و ۱۰ متر بر ثانیه قرار دارد. در شکل ۷، مشخصات هندسی پشتۀ مخروطی نشان داده شده است. بهمنظور مدل‌سازی انتقال آلاینده‌ها، مشابه با پشتۀ هرمی، منبع تولید ذرات آلاینده روی سطح پشتی، برای یک بازه زمانی ۳ ثانیه‌ای در نظر گرفته شده و سپس به مدت ۹۵ ثانیه حرکت ذرات محاسبه می‌شود.

شکل ۸، خطوط همتراز نرخ اضمحلال آشفتگی روی سطح پشتۀ مخروطی را برای دو مقدار سرعت موردنظر نشان می‌دهد. در جلوی پشتی، ناحیه سکون ایجاد شده و در نقطه سکون سرعت به صفر رسیده است.

خود اختصاص می‌دهد. افزایش شدت ورتیسیتی محلی معیار مناسبی جهت پیش‌بینی ایجاد لکه‌های آشفتگی محلی بوده و در نتیجه احتمال برخاستن و حبس ذرات در این نواحی و تولید توده‌های بزرگ گردوغبار را بیشتر می‌کند.

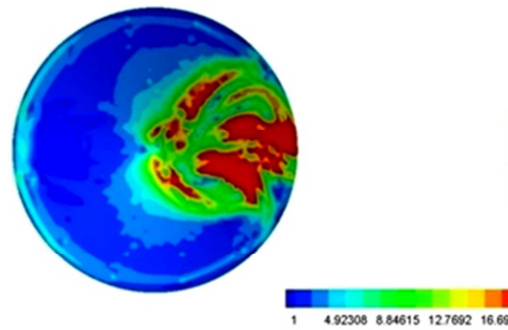


(ب)

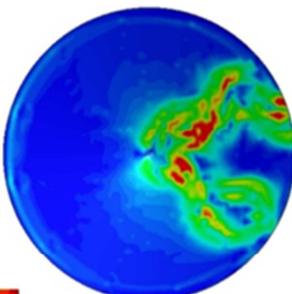


(الف)

شکل ۸- خطوط همتراز نرخ اضمحلال آشفتگی روی سطح پشتۀ مخروطی برای (الف) سرعت ۷ متر بر ثانیه و (ب) ۱۰ متر بر ثانیه



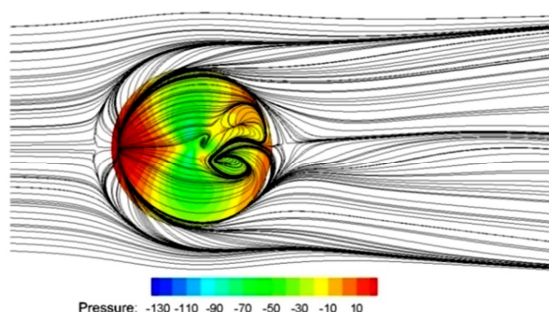
(ب)



(الف)

شکل ۹- خطوط همتراز توزیع شدت ورتیسیتی روی سطح پشتۀ مخروطی (الف) سرعت ۷ متر بر ثانیه و (ب) سرعت ۱۰ متر بر ثانیه

در پایین دست پشتۀ و در فاصلۀ ۵۰۰ متری از پشتۀ و روی سطح زمین نمایش می‌دهد.



شکل ۱۰- خطوط جریان همراه با توزیع فشار نسبی روی سطح پشتۀ مخروطی در سرعت ورودی ۱۰ متر بر ثانیه

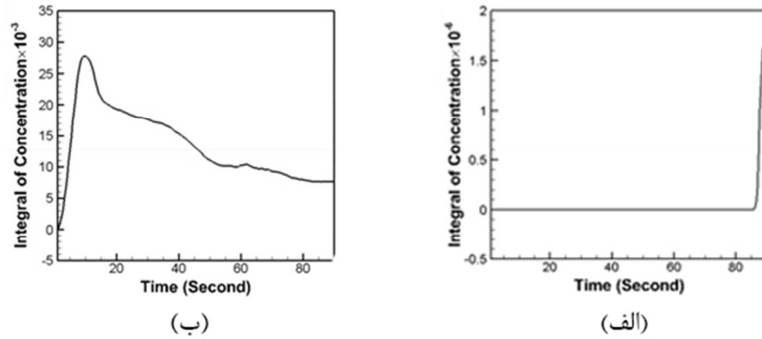
ورتیسیتی روی سطح پشتۀ مخروطی به ازای سرعت‌های ورودی جریان به ترتیب ۷ متر بر ثانیه و ۱۰ متر بر ثانیه نشان داده شده است. با افزایش سرعت در پشت پشتۀ، شدت ورتیسیتی نیز افزایش می‌یابد. این افزایش محلی به‌ازای سرعت بالاتر جریان ورودی محدوده بیشتری را به

در شکل ۱۰، خطوط جریان و توزیع فشار نسبی روی سطح پشتۀ برای سرعت ۱۰ متر بر ثانیه نشان داده شده است. در جلوی پشتۀ، فشار افزایش یافته و ناحیۀ سکون ایجاد شده است. در ناحیۀ پایین دست پشتۀ (پایین دست جریان)، فشار کاهش یافته و براساس قواعد جریان سیال (مانند رابطۀ برنولی)، سرعت افزایش یافته و نواحی گردابهای و جریان برگشتی تشکیل خواهد شد.

شکل ۱۱ (الف)، تغییرات زمانی انتگرال سطحی غلظت ذرات آلاینده بر حسب زمان را در بازه صفر تا ۹۸ ثانیه به‌ازای سرعت ورودی ۷ متر بر ثانیه و روی صفحه‌ای

همانطورکه انتظار می‌رود با عبور حجم بیشینه اولیه، نرخ غلظت کاهش می‌یابد.

بهدلیل کمتر بودن مقدار سرعت، مدت زمان بیشتری طول می‌کشد تا ذرات از این صفحه عبور نمایند. لذا در گام‌های زمانی انتهایی، غلظت افزایش می‌یابد؛ ولی



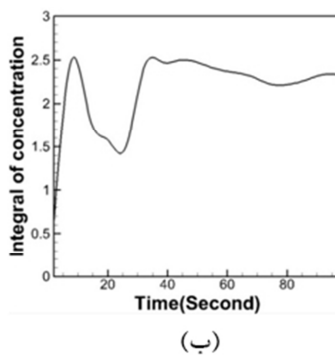
شکل ۱۱- تغییرات انتگرال سطحی غلظت ذرات آلاینده عبوری بر حسب زمان (ثانیه) روی صفحه زمین (ب) در ناحیه پایین دست پشتۀ مخروطی برای سرعت ۷ متر بر ثانیه

از سرعت کمتری برخوردار بوده و در نتیجه دارای زمان ماند بیشتری می‌باشند. در شکل ۱۲ (ب)، تغییرات زمانی انتگرال سطحی غلظت ذرات آلاینده بر حسب زمان در بازۀ صفر تا ۹۸ ثانیه روی سطح زمین نمایش داده شده است. در این حالت نیز بهدلیل قطر بسیار کوچک ذرات، حجم زیادی از آنها با جریان هوا از روی پشتۀ برخاسته‌اند. به واسطۀ جریان برگشتی در ناحیۀ پایین دست پشتۀ بخش عمده‌ای از ذرات در این بخش محبوس می‌شوند. در اثر نیروی وزن و کاهش اثرات اختلاف فشار (ناحیۀ کم‌فارش پایین دست پشتۀ) به مرور فرود آمده، در نتیجه غلظت آن‌ها افزایش یافته و به مقدار $2/5$ می‌رسد. لیکن با گذشت زمان، مقدار غلظت کاهش یافته و به عددی در حدود $1/5$ می‌رسد. این مقدار تجمع ذرات آلاینده روی سطح (حالت ایستایی) به‌منظور مطالعه اثرات زیست‌محیطی و اقتصادی پدیده بادبردگی حائز اهمیت می‌باشد. شکل ۱۳ (الف)، تغییرات زمانی مجموع غلظت ذرات آلاینده انباسته شده بر حسب زمان را در بازۀ صفر تا ۹۸ ثانیه روی سطح زمین و در ناحیۀ پایین دست پشتۀ نمایش می‌دهد. در ابتدای گام زمانی و از زمان صفر تا ۱۰ ثانیه مجموع غلظت ذرات آلاینده روی سطح زمین افزایش یافته و به مقدار $2/3$ می‌رسد. با گذشت زمان و در

در شکل ۱۱ (ب)، تغییرات زمانی انتگرال سطحی غلظت ذرات آلاینده بر حسب زمان در همان بازۀ مشابه به حالت (الف) و روی سطح زمین نمایش داده شده است. در این حالت نیز بهدلیل قطر بسیار کوچک ذرات، حجم زیادی از آنها با جریان هوا از روی پشتۀ برخاسته‌اند. به‌واسطۀ سرعت کمتر جریان آزاد و جریان برگشتی در ناحیۀ پایین دست پشتۀ، بخش عمده‌ای از ذرات روی سطح زمین متوقف شده و با گذر زمان به‌واسطۀ شدت یافتن نواحی جریان با گرادیان‌های شدیدتر سرعت، غلظت آنها روی سطح زمین کاسته شده و به مقدار ثابتی می‌رسد.

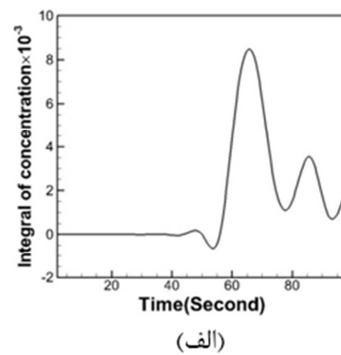
شکل ۱۲ (الف)، تغییرات زمانی انتگرال سطحی غلظت ذرات آلاینده بر حسب زمان را در بازۀ صفر تا ۹۸ ثانیه روی صفحه‌ای در پایین دست پشتۀ و در فاصلۀ ۵۰۰ متری از پشتۀ و روی سطح زمین نمایش می‌دهد. برای این صفحه این نکته قابل بیان است که چون قطر ذرات کم بوده (10 میکرون) و در نتیجه سبک هستند، در ابتدا حجم زیادی از آنها با وزش باد از روی پشتۀ برخاسته و غلظت آنها افزایش می‌یابد. ولی همانطورکه انتظار می‌رود با گذر در زمان نرخ غلظت کاهش یافته ولی مجدداً کمی افزوده می‌شود. این افزایش ناشی از عبور ذراتی است که

متری از پشتۀ نشان می‌دهد. در گام‌های زمانی آغازین، مجموع غلظت ذرات آلاینده، مقدار ثابتی داشته ولی با گذشت زمان و از ثانیه ۷۵ تا ۹۸، مجموع غلظت ذرات آلاینده روند افزایشی داشته و این ذرات در ناحیه موردنظر تجمع کرده‌اند.



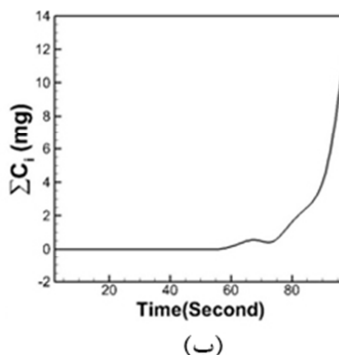
(ب)

بازه ۱۰ تا ۹۸ ثانیه غلظت ذرات آلاینده روی سطح زمین روند کاهشی داشته و به مقدار صفر همگرا شده است. شکل ۱۳(ب)، تغییرات زمانی مجموع غلظت ذرات آلاینده انباسته شده بر حسب زمان را در همین بازه زمانی روی صفحه‌ای در پایین دست میدان جریان و در فاصله ۵۰۰

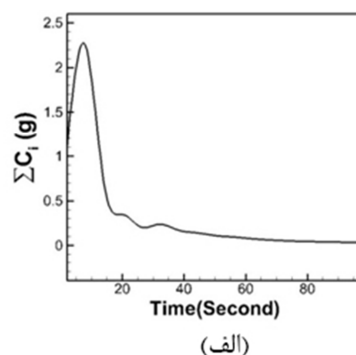


(الف)

شکل ۱۲- تغییرات انتگرال سطحی غلظت ذرات آلاینده عبوری بر حسب زمان (ثانیه) روی صفحه $x=500\text{ m}$ (الف) و روی سطح زمین (ب) در ناحیه پایین دست پشتۀ مخروطی برای سرعت ۱۰ متر بر ثانیه



(ب)



(الف)

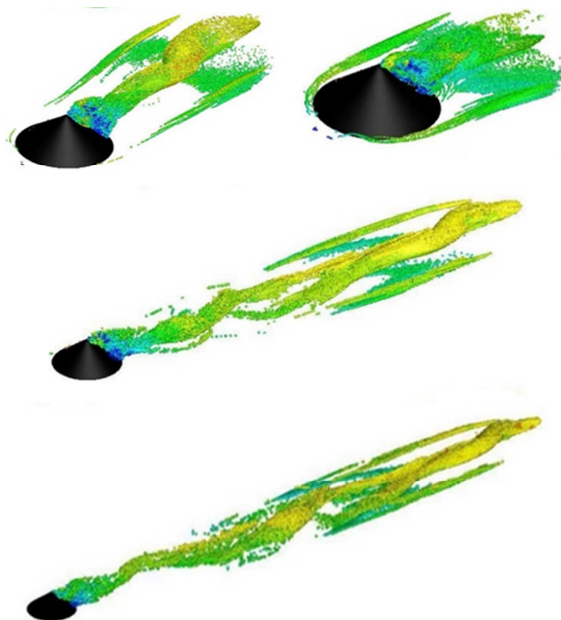
شکل ۱۳- تغییرات مجموع غلظت ذرات آلاینده عبوری بر حسب زمان (ثانیه) روی صفحه $x=500\text{ m}$ (الف) و روی سطح زمین (ب) در ناحیه پایین دست پشتۀ مخروطی برای سرعت ۱۰ متر بر ثانیه

در شکل ۱۵، مقایسه انتگرال سطحی غلظت ذرات آلاینده انباسته شده بر حسب زمان (ثانیه) روی سطح زمین در ناحیه پایین دست برای پشتۀ هرمی و مخروطی در بازه ۳۲ تا ۵۱ ثانیه نشان داده شده است. همانطور که مشخص است برای پشتۀ هرمی، مقدار غلظت ذرات آلاینده انباسته شده در سطح زمین در مقایسه با پشتۀ مخروطی بسیار کاهش یافته است. با دقت در این نمودار، واضح است که پشتۀ هرمی از آنجاکه مقدار غلظت ذرات آلاینده انباسته شده حاصل از آن روی سطح زمین کمتر است؛ مدل مناسبتری نسبت به پشتۀ مخروطی جهت

با مقایسه مقدار انتگرال سطحی غلظت روی سطح زمین برای پشتۀ هرمی و مخروطی این نتیجه دریافت می‌شود که مقدار بادردگی از سطح پشتۀ مخروطی بسیار بیشتر از شکل هرمی بوده و لذا شکل هرمی از لحاظ تأثیرات مخرب زیستمحیطی، طرح مناسبتری برای انباسته مواد اولیه می‌باشد. شکل ۱۴، مسیر انتقال ذرات گردوغبار از روی پشتۀ مخروطی در گام‌های زمانی مختلف را نشان می‌دهد. در ابتدای گام زمانی به دلیل سرعت کم، ذرات آلاینده بیشتری در پایین دست پشتۀ وجود دارد. با گذشت زمان و با افزایش سرعت در این ناحیه مقدار غلظت ذرات آلاینده کاهش می‌یابد.

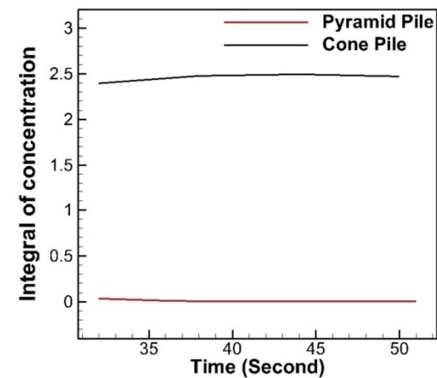
اقتصادی می‌باشد.

انباشت مواد، هم از دیدگاه محیط‌زیستی و هم از دیدگاه



شکل ۱۴- مسیر انتقال ذرات گردوغبار از روی پشتۀ مخروطی در گام‌های زمانی مختلف به ازای سرعت ورودی ۱۰ متر بر ثانیه، (رنگی شده بر حسب مقدار سرعت محلی ذرات)

در این پژوهش یک پشتۀ هرمی و مخروطی از جنس سنگ آهن با ابعاد واقعی می‌باشد. میدان جریان اطراف پشتۀ با به‌کارگیری معادلات دقیق حرکت سیال از روی پشتۀ و حرکت ذرات آلاینده با بهره‌گیری از معادلات حرکت (قانون دوم نیوتون) شبیه‌سازی شده‌اند. نتایج پژوهش نشان‌دهنده این است که سرعت در سطح پشتۀ هرمی و به سمت نواحی جانبی روند افزایشی داشته و بنابراین میزان بادبردگی در این نواحی به مراتب بیشتر از بقیه قسمت‌های پشتۀ خواهد بود. در خصوص پشتۀ مخروطی به‌دلیل تقارن شکل هندسی میزان بادبردگی در بخش‌های مختلف به میزان شکل هرمی تفاوت ندارد. نتایج و تحلیل‌های به‌دست آمده از این پژوهش نشان می‌دهد که چرخش باد، کاهش فشار، افزایش سرعت و افزایش انرژی جنبشی آشفتگی در ناحیه پایین‌دست پشتۀ رخ داده و افزایش فشار و کاهش سرعت در جلوی پشتۀ اتفاق می‌افتد. این موضوع سبب افزایش سهم بادبردگی در نواحی رو به باد و در قسمت‌های جانبی آن شده ولی میزان حبس ذرات در ناحیه پایین‌دست پشتۀ بسیار



شکل ۱۵- مقایسه انگرال سطحی غلظت ذرات آلاینده انباشتۀ شده بر حسب زمان (ثانیه) روی سطح زمین در ناحیه پایین‌دست برای پشتۀ هرمی و مخروطی

۶- نتیجه‌گیری

در این پژوهش، به مطالعه و شبیه‌سازی میدان جریان و بادبردگی ذرات آلاینده از روی پشتۀ‌های انباشت مواد اولیه و مقایسه اثرات تغییرشکل در کاهش بادبردگی پرداخته شده است. تعیین میزان بادبردگی، پخش ذرات و پیشنهاد استفاده از ساختارهای جدید برای پشتۀ‌ها و بهترین و اقتصادی‌ترین روش تثبیت آنها به‌کمک شبیه‌سازی عددی قابل پیش‌بینی است. مسئله مورد بحث

پایین دست پشته با گذشت زمان نرخ غلظت ذرات آلاینده کاهش می‌یابد.

بیشتر می‌باشد. همچنین شروع چرخش و بیشترین سرعت در گوشه‌های پشته اتفاق افتاده و در ناحیه

مراجع

- [1] Bagnold, R.A. (1941). *The Physics of Blown Sand and Desert Dunes*. Methuen and Co., London.
- [2] Lancaster, N., Nickling, W. G., Neuman, C. M., & Wyatt, V. E. (1996), "Sediment flux and airflow on the stoss slope of a barchan dune", *Geomorphology*, 17(1-3), 55-62.
- [3] Neuman, C. M., Lancaster, N., & Nickling, W. G. (1997), "Relations between dune morphology, air flow, and sediment flux on reversing dunes, Silver Peak, Nevada", *Sedimentology*, 44(6), 1103-1111.
- [4] Parsons, D. R., Wiggs, G. F., Walker, I. J., Ferguson, R. I., & Garvey, B. G. (2004), "Numerical modelling of airflow over an idealised transverse dune", *Environmental Modelling & Software*, 19(2), 153-162.
- [5] Badr, T., & Harion, J. L. (2005), "Numerical modelling of flow over stockpiles: Implications on dust emissions", *Atmospheric Environment*, 39(30), 5576-5584.
- [6] Torkian, A., Hassanvand, M. S., Sahebnasagh, M. R., Naddaf, K., & Moayyedi, M. K. (2012), "Experimental investigation of the effectiveness of various additives in reducing wind erosion from iron ore piles", *Iranian Journal of Health and Environment*, 5(3), 387-398.
- [7] Moayyedi, M. K., & Bashardoust, A. (2015), "Numerical Simulation of the Flow Field and Motion of Pollutant Particles Around the Raw Materials Piles", *23th International ISME Conference, Amirkabir University of Technology*.
- [8] Ashrafi, Kh., Kalhor, M., Shafie pour, M., & Torkian, A. (2013), "Estimation of Winding rate from Iron Ore Stones Using Computational Fluid Dynamics and Von Karmen Methods", *Iranian Journal of Geophysics*, 7(4), 170-180.
- [9] Torano, J. A., Rodriguez, R., Diego, I., Rivas, J. M., & Pelegry, A. (2007), "Influence of the pile shape on wind erosion CFD emission simulation", *Applied mathematical modelling*, 31(11), 2487-2502.
- [10] Diego, I., Pelegry, A., Torno, S., Torano, J., & Menendez, M. (2009), "Simultaneous CFD evaluation of wind flow and dust emission in open storage piles", *Applied Mathematical Modelling*, 33(7), 3197-3207.
- [11] Song, C. F., Peng, L., Cao, J. J., Mu, L., Bai, H. L., & Liu, X. F. (2014), "Numerical simulation of airflow structure and dust emissions behind porous fences used to shelter open storage piles", *Aerosol and Air Quality Research*, 14(6), 1584-1592.
- [12] Furieri, B., Russeil, S., Harion, J. L., Santos, J., & Milliez, M. (2012), "Comparative analysis of dust emissions: isolated stockpile vs two nearby stockpiles", *Air Pollution*, 285-294.
- [13] Torno, S., Rodriguez, R., Allende, C., & Torano, J. (2010), "Dust emission reduction for open storage mineral piles by fences: CFD modeling", *WIT Transactions on Ecology and the Environment*, 136, 121-128.
- [14] Nagel, T., Chauchat, J., Cheng, Z., Liu, X., Hsu, T. J., Bonamy, C., & Bertrand, O. (2017, December), "Two-phase flow simulation of scour around a cylindrical pile", In *AGU Fall Meeting Abstracts*.
- [15] Novak, L., Bizjan, B., Pražníkář, J., Horvat, B., Orbanić, A., & Širok, B. (2015), "Numerical Modeling of Dust Lifting from a Complex-Geometry Industrial Stockpile", *Strojnicki Vestnik/Journal of Mechanical Engineering*, 61(11), 621-631.
- [16] Wilcox, D. C. (1998). *Turbulence modeling for CFD* (Vol. 2, pp. 172-180). La Canada, CA: DCW industries.
- [17] Mihailovic, D. T. (2010). *Advances in environmental fluid mechanics*. World Scientific.
- [18] Sportisse, B. (2009). *Fundamentals in air pollution: from processes to modelling*. Springer Science & Business Media.